

ЭКЗ. ЧИТ. ЗАЯВА

СООБЩЕНИЯ
ОБЪЕДИНЕННОГО
ИНСТИТУТА
ЯДЕРНЫХ
ИССЛЕДОВАНИЙ

Дубна



P1-5737

Л.Н. Глонти, Ю.М. Казаринов,
А.М. Розанова, И.Н. Силин

Лаборатория ядерных процессов

ФАЗОВЫЙ АНАЛИЗ РР-РАССЕЯНИЯ
ПРИ ЭНЕРГИИ 1 ГЭВ

Лаборатория ядерных процессов

1971

P 1-5737

Л.Н. Глонти*, Ю.М. Казаринов,
А.М. Розанова, И.Н. Силин

ФАЗОВЫЙ АНАЛИЗ РР-РАССЕЯНИЯ
ПРИ ЭНЕРГИИ 1 ГЭВ

Научно-техническая
библиотека
ОИЯИ

* Тбилисский государственный университет

Верхняя граница области однозначного определения амплитуды нуклон-нуклонного рассеяния находится в настоящее время в области энергии 400 Мэв^{1,2/}. При более высоких энергиях однозначный результат фазового анализа получен при 630 Мэв^{3/}. Этот результат, однако, в известной степени зависит от тех предположений, которые были сделаны относительно процессов мезонообразования при проведении фазового анализа. В связи с этим можно думать, что вопрос об однозначности определения амплитуды упругого рассеяния нуклонов нуклонами при энергии 635 Мэв требует дополнительных исследований.

Фазовый анализ pp -данных, полученных при энергиях, близких к 1 Гэв, ранее был проведен в работе^{4/}. Авторы этой работы, однако, использовали не все известные данные и недостаток экспериментального материала компенсировали результатами, полученными с использованием модели однобозонного обмена. В^{4/} не изучен полностью также вопрос об однозначности полученного результата анализа.

Фазовый анализ, результаты которого приведены ниже, выполнен с целью получения сведений, необходимых для планирования экспериментов по исследованию упругого pp -рассеяния при энергии 1 Гэв.

Постановка задачи

При проведении фазового анализа были сделаны следующие предположения:

1. Одномезонное приближение справедливо для описания pp -взаимодействия при энергии 1 ГэВ в состояниях с орбитальным моментом $l > 6$.
2. Мезонообразование идет, в основном, из начальных $^3P_{0,1,2}$, 1D_2 и $^3F_{2,3,4}$ - состояний.

3. Можно пренебречь энергетической зависимостью использованных экспериментальных данных и в пределах ошибок отнести их к энергии 1 ГэВ (см. табл. 1).

Оценка границы применимости одномезонного приближения получена на основании результатов фазового анализа при энергии 630 МэВ^{3/} с учётом изменения прицельного параметра при переходе к энергии 1 ГэВ.

Основанием для предположения относительно характера процессов мезонообразования послужило то обстоятельство, что угловые распределения π -мезонов, образующихся в pp -столкновениях при энергии 1 ГэВ, так же, как и при энергиях 650–660 МэВ, не содержат членов более высоких, чем $\cos^4 \theta$ (θ – угол вылета π -мезона). В то же время известно, что для удовлетворительного описания эксперимента при фазовом анализе 630 МэВ достаточно учесть комплексность фаз только в состояниях $P_{0,1,2}$, 1D_2 и $^3F_{2,3,4}$.

Использованные при проведении фазового анализа экспериментальные данные приведены в таблице 2. Для того чтобы исключить возможные систематические ошибки в результатах, полученных различными авторами, данные были подвергнуты предварительной обработке. При этом дифференциальные сечения упругого pp -рассеяния, измеренные в ^{6-9/}, перенормированы на полное сечение упругого рассеяния $\sigma_{\text{упр}} = 24,8 \pm 0,9 / 15$. Нормировочные коэффициенты приведены в третьем столбце таблицы 2. Для получения исправленных значений дифференциальных сечений величины $d\sigma / d\Omega$, указанные в перечисленных работах (табл. 1), необходимо разделить на соответствующие нормы. Полные сечения взаимодействия, измеренные в работах ^{12/} и ^{13/} при энергиях 1,03 и 1,075 ГэВ, были усреднены. В результаты измерений поляризации ^{12/} квадратично добавлена ошибка в изме-

рении поляризации первичного пучка ($\approx 5\%$). Данные по дифференциальнym сечениям и поляризации для углов $\theta > 90^\circ$ были приведены к интервалу $0^\circ \leq \theta \leq 90^\circ$ по известным соотношениям.

Легко подсчитать, что данные таблицы 2 дают возможность определить $3l_{\max} + 1$ свободных параметров ($\sigma_{\text{tot}} + 1$; $\frac{d\sigma}{d\Omega} - l_{\max} + 1$; $P(\theta) + l_{\max} - 1$; $C_{\text{пп}} + l_{\max} + 1$; $\sigma_{\text{неупр}} + 1$ (или 21 параметр при $l_{\max} = 6$). Число фазовых сдвигов, подлежащих определению при $l_{\max} = 6$, если учитывать мезонообразование из P , D и F - состояний, равно 22. Недостающие уравнения дает одномезонное приближение, использованное для описания pp -взаимодействия в состояниях с высокими орбитальными моментами, и задача, по-видимому, решается. Однако при этом число решений будет заведомо велико ($\approx 2^m$, где m – искомое число параметров^{5/}). Для того чтобы получить некоторое переопределение, что необходимо в нелинейных задачах, которые решаются методом максимума правдоподобия, в экспериментальные данные были добавлены четыре точки, полученные экстраполяцией энергетической зависимости коэффициента деполяризации D_{pp} , измеренного в области более низких энергий (400–630 МэВ). Ошибки экстраполированных значений были при этом взяты такими, чтобы этот параметр был положительно определен с вероятностью 0,99.

Решения находились из условия минимума функционала

$$x^2 = \sum_{i=1}^n [F_{\text{exp}} - F(\delta)]_i^2 w_i,$$

где F_{exp} – значения, полученное в эксперименте, $F(\delta)$ – расчётное значение измеренной величины, w_i – вес, n – полное число экспериментальных точек, использованных для проведения фазового анализа. Процедура поиска решений подробно описана ранее в ^{19/}.

Результаты

Попытка найти решение со случайных начальных значений и таким образом проверить однозначность решения задачи не увенчалась успехом. Оказалось, что ошибки найденных при этом параметров настолько вели-

ки (100% и более), что все решения в пределах ошибок не различаются. В связи с этим было решено получить набор фазовых сдвигов, описывающий экспериментальные данные при энергии 1 Гэв экстраполяцией решения, найденного при энергии 630 Мэв^{/3/}. Для этого значения фазовых сдвигов, найденные^{/3/}, были взяты в качестве начальных значений и уточнены по экспериментальным данным, приведенным в таблице 2. В процессе уточнения были приняты меры для того, чтобы энергетические зависимости $\delta(E)$ были достаточно монотонны вплоть до энергии 1 Гэв.

Полученное таким образом решение дано в таблице 3. В таблице также приведены результаты фазового анализа при энергии 630 Мэв^{/3/} и 1000 Мэв^{/4/}. Сравнение полученного набора фазовых сдвигов с решением, найденным ранее при энергии 630 Мэв^{/3/}, указывает на то, что экспериментальные данные при энергии 1 Гэв можно достаточно хорошо описать в предположении монотонной зависимости фазовых сдвигов от энергии. При этом не возникает необходимости вводить предположение о заметном мезообразовании из начального 1S_0 -состояния, как это были вынуждены сделать при энергии 1000 Мэв авторы работы^{/4/}.

Угловые зависимости экспериментально наблюдаемых величин, рассчитанные по полученному набору фазовых сдвигов, показаны на рис. 1-6. Заштрихованные области на рис. 1-3 - коридоры ошибок расчётных кривых. Коридор ошибок расчётных кривых на рис. 4-6 для угловых зависимостей параметров Вольфенштейна составляет 100%. Отсюда с очевидностью следует, что наиболее ценная информация для определения амплитуды pp -рассеяния в настоящее время может быть получена только из экспериментов по тройному рассеянию.

После завершения настоящей работы в литературе появились новые результаты измерения дифференциальных сечений, поляризации и деполяризации (см. таблицу 1). Впервые измеренная при энергии 984 Мэв деполяризация D_{pp} на угле 90° (с.п.и.), к сожалению, имеет почти 100% ошибку и практически не дает новой информации. Дифференциальные сечения и поляризация, измеренные в интервале углов 30-90°, согласуются с данными, опубликованными ранее.

В заключение авторы выражают благодарность С.И. Биленькой за помощь в работе.

Л и т е р а т у р а

1. M.H. MacGregor, R.A. Arndt, R.M. Wright. Phys.Rev., 173, 1272 (1968).
2. Z. Janout, Yu.M. Kazarinov, F. Lehar, A.M. Rozanova. Nucl.Phys., A127, 449 (1969).
3. С.И. Биленькая, Л.Н. Глонти, Ю.М. Казаринов, В.С. Киселев. ЖЭТФ, 59, 1050 (1970).
4. N. Hoshisaki, T. Kadota. Preprint NEAP, May 1969.
5. Н.П. Клепиков. ЖЭТФ, 44, 376 (1963).
6. W.K. McFarlane, R.J. Homer, A.W. O'Dell et al. Nuovo Cim., 28, 943 (1963).
7. J.D. Dowell, W.R. Friskin, G. Martelli et al. Nuovo Cim., 18, 818 (1960).
8. L.W. Smith, A.W. McReynolds, G. Snow. Phys.Rev., 97, 1186 (1955).
9. T.A. Murray, L. Riddiford, G.H. Grayer et al. Nuovo Cim., 49, 261 (1967).
10. R.J. Homer, W.K. McFarlane, A.W.O'Dell et al. Nuovo Cim., 23, 690 (1962).
11. Y. Ducros. Rev.Mod.Phys., 39, 531 (1967); Phys.Rev., 164, 1672 (1967).
12. H.A. Neal, M.J. Longo. Phys.Rev., 161, 1374 (1967).
13. F.F. Chen, C.P. Leavit, A.M. Shapiro. Phys.Rev., 103, 211 (1956).
14. M.J. Longo, J.A. Helland, W.N. Hess et al. Phys.Rev.Lett., 3, 568 (1959).
15. D.V. Bugg, A.J. Oxley, J.A. Zoll et al., Phys.Rev., 133B, 1017 (1964).
16. G.H. Grayer, J.D. Dowell, C.J. Adams et al. Lett.Nuovo Cim., 3, 633 (1970).
17. M.G. Albrow, S.A. Anderson/Almended, B. Bošnjaković et al. Nucl.Phys., B23, 445 (1970).

18. D.V. Bugg, D.C. Salter, G.H. Stafford et al. Phys.Rev., 146,
980 (1966).
 19. Ю.М. Казаринов, И.Н. Силин. ЖЭТФ, 43, 692 (1962).
 20. H.P. Stapp, T.Y. Ypsilantis, N. Metropolis. Phys.Rev., 105,
302 (1957).

Таблица I.

Экспериментальные данные по упругому pp-рассеянию
вблизи 1 ГэВ.

Рукопись поступила в издательский отдел
8 апреля 1971 года.

E, МэВ	θ^* с.ц.и.	f	Δf	источ- ник	E, МэВ	θ^* с.ц.и.	f	Δf	источ- ник
<i>PP</i> полное сечение σ_{tot} (мб)					<i>PP</i> полное неупр. сечение σ_p^H (мб)				
968		47,553	0,058	/18/ ^x	970		22,48	0,8	/15/
970		47,3	1,0	/15/					
1030		46,5	2,0	/12/					
1073		47,49	0,046	/13/					
1075		48,3	1,6	/18/ ^x					
<i>PP</i> дифференциальное сечение $d\sigma/d\Omega$ (мб/стэр.)									
950	35,90	6,71	0,56	/17/ ^x	1000	36,5	5,66	0,10	/8/
	38,73	6,30	0,51			41,3	4,54	0,10	
	43,12	4,76	0,25			53,7	2,44	0,07	
	49,45	3,51	0,23			64,0	1,33	0,05	
	54,55	2,58	0,17			77,0	0,79	0,05	
	58,67	2,26	0,18			90,0	0,62	0,05	
	62,62	1,65	0,11		1010	18,5	11,80	0,26	
	67,05	1,45	0,12			24,6	10,40	0,33	
	70,12	1,08	0,09			30,7	7,89	0,18	
	73,74	1,00	0,08			36,7	5,76	0,09	
	77,88	0,99	0,08			41,5	4,11	0,09	
	81,95	0,65	0,05			48,5	2,718	0,051	
	86,55	0,73	0,06			60,0	1,546	0,041	
	89,43	0,78	0,10			71,1	0,922	0,029	
970	12,30	19,600	1,200	/6/		79,8	0,739	0,037	
	48,30	3,506	0,088			90,0	0,608	0,030	
	59,73	2,037	0,070		1040	37,82	5,97	0,34	/17/ ^x
	70,83	1,185	0,040			44,77	4,38	0,22	
	81,55	0,898	0,024			50,95	3,04	0,20	
991	14,5	18,620	0,801	/9/		55,25	2,20	0,15	
	19,0	14,280	0,366			60,00	1,94	0,16	
	23,0	12,460	0,280			63,90	1,56	0,10	
	30,5	10,334	0,274			68,28	1,17	0,10	
	40,0	5,430	0,117			71,93	0,95	0,08	
	50,0	3,200	0,089			76,70	0,85	0,06	
	59,5	1,860	0,085			80,80	0,66	0,06	
	70,0	1,041	0,085			84,27	0,65	0,05	
	80,25	0,690	0,036			88,28	0,65	0,06	

^x - При поиске решений не использовано.

Таблица 2.

Обработанные экспериментальные данные.

Таблица 1.

(Продолжение)

E, Мэв	θ^* с.ц.и.	f	Δf	источник	E, Мэв	θ^* с.ц.и.	f	Δf	источник
PP поляризация P									
950	29,55	0,41	0,03	/17/ ^x		51,20	0,330	0,020	
	35,90	0,437	0,04			55,40	0,330	0,020	
	38,73	0,53	0,05			60,00	0,285	0,020	
	43,12	0,44	0,03			64,60	0,265	0,030	
	49,45	0,47	0,04			67,20	0,287	0,050	
	54,55	0,40	0,04			68,70	0,210	0,060	
	58,67	0,37	0,05			71,60	0,210	0,020	
	62,62	0,36	0,05			75,60	0,080	0,035	
	67,05	0,25	0,07			79,40	0,092	0,013	
	70,12	0,20	0,08			83,20	0,090	0,020	
	73,74	0,24	0,08			87,00	-0,017	0,047	
	77,88	0,04	0,08		1030	39,88	0,419	0,037	/12/
	81,95	0,17	0,08			42,47	0,464	0,046	
	86,55	-0,09	0,09			53,60	0,481	0,033	
	89,43	-0,18	0,13			57,81	0,417	0,043	
970	12,30	0,237	0,155	/10/		61,62	0,325	0,037	
	22,10	0,183	0,079			65,32	0,258	0,074	
	24,50	0,223	0,061			68,52	0,245	0,035	
	26,90	0,312	0,068			71,37	0,265	0,039	
	29,40	0,237	0,082			77,25	0,095	0,029	
	30,50	0,229	0,056			88,25	-0,021	0,034	
	36,50	0,297	0,067		1040	30,68	0,41	0,02	/17/ ^x
	48,30	0,386	0,070			37,82	0,47	0,03	
	59,70	0,334	0,083			44,77	0,38	0,02	
	70,80	0,169	0,067			50,95	0,46	0,04	
	81,60	0,063	0,066			55,25	0,32	0,04	
I029	25,90	0,345	0,040			60,00	0,28	0,05	
	30,90	0,355	0,020			63,90	0,28	0,05	
	35,60	0,370	0,030			68,28	0,32	0,06	
	40,60	0,385	0,030			71,93	0,21	0,07	
	42,00	0,405	0,027			76,70	0,22	0,06	
	45,40	0,370	0,020			80,80	-0,01	0,08	
	46,60	0,360	0,025			84,27	0,11	0,08	
	50,00	0,345	0,021			88,28	0,01	0,08	
PP корреляция поляризаций C_{pp} PP деполяризация D									
978	42,0	0,70	0,19	/11/	984	90,0	0,65	0,56	/16/ ^x
46,7	0,72	0,15							
51,2	0,61	0,16							
55,6	0,62	0,20							
60,0	0,46	0,26							
64,3	0,44	0,27							
68,6	0,71	0,47							
70,0	0,39	0,27							
73,4	0,69	0,16							
77,4	0,79	0,17							

x - при поиске решений не использовано.

эксп. велич.	E, Мэв	число точек	норма	χ^2	источник	примечание
σ_{tot}^{pp}	970 1030 1075	I I I		0,003 /15/ 0,054 /14/ /13/		усреднено
$\sigma_{\text{неуп. полн.}}$	970	I				/15/
$(d\sigma/d\Omega)_{pp}$	970 991 1000 1010	4 8 5 9	$1,109 \pm 0,044$ $0,990 \pm 0,038$ $0,870 \pm 0,034$ $0,835 \pm 0,031$	4,8 20,1 7,6 13,0	/6/ /9/ /8/ /7/	перенормировано на полное неупр. сечение (24,8±0,9 мб)
P_{pp}	970 1029 1030	II I7 IO		9,8 16,3 15,6	/10/ /11/ /12/	
C_{pp}	978	IO		0,82	/11/	
D_{pp}		4				экстраполяция
Таблица 3. Фазовые сдвиги в градусах (параметризация Стаппа /20/).						
	630 Мэв /3/		I Гэв(наст.работа)		I Гэв /4/	
$^1S_0^2$	0,076 ± 0,005		0,07		0,08	
3S_0	-19,4 ± 3,4		-5,0		-30,0	
3P_0	-20,7 ± 2,4		-41,1		-37,5	
3P_1	-29,9 ± 2,2		-17,6		-71,5	
3P_2	34,7 ± 1,8		55,0		16,9	
1D_2	9,6 ± 1,6		11,8		11,3	
3F_2	2,9 ± 0,9		3,8		43,5	
3F_3	-4,1 ± 0,6		-6,6		-13,7	
3F_4	0,7 ± 0,8		-0,3		(-7,73)	
3H_4	3,8 ± 0,8		4,7		(6,50)	
1G_4	5,6 ± 0,7		6,4		(4,50)	
ξ_4	0,7 ± 0,8		-2,5			
3H_4	-2,3 ± 0,6		-3,51		(1,10)	
3H_5	-3,2 ± 0,8		+1,5		(-2,00)	
3H_6	-2,8 ± 0,5		-3,7		(2,40)	
I_6	одномез.		-3,2		(0,669)	
мнимые части фазовых сдвигов						
1S_0	-		-		40,0	
3P_0	-		2,0		9,0	
3P_1	-		30,2		0,0	
3P_2	5,1 ± 1,5		5,4		16,0	
1D_2	10,9 ± 2,6		6,8		13,2	
3F_2	0,7 ± 1,1		4,9		19,0	
3F_3	2,4 ± 1,5		9,4		18,0	
3F_4	4,0 ± 0,7		16,5		3,0	
χ^2			88		52	
n			82		62	

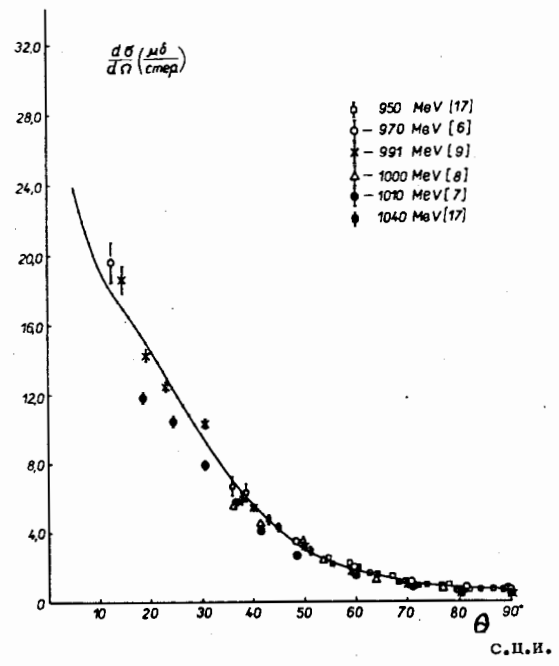


Рис. 1.

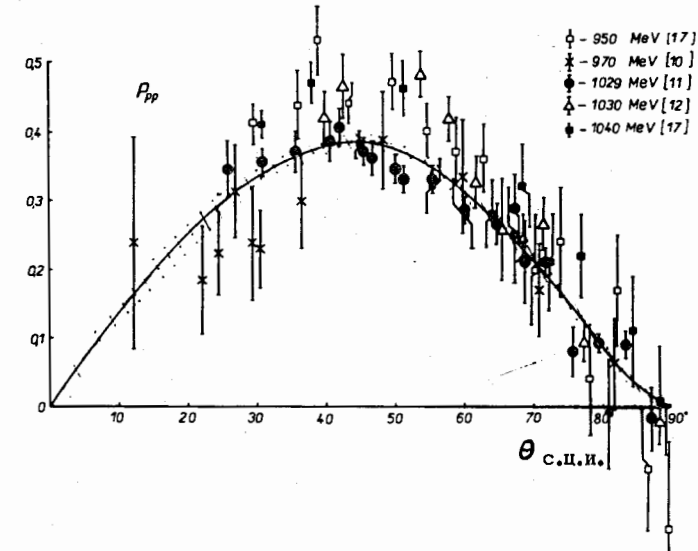


Рис. 2.

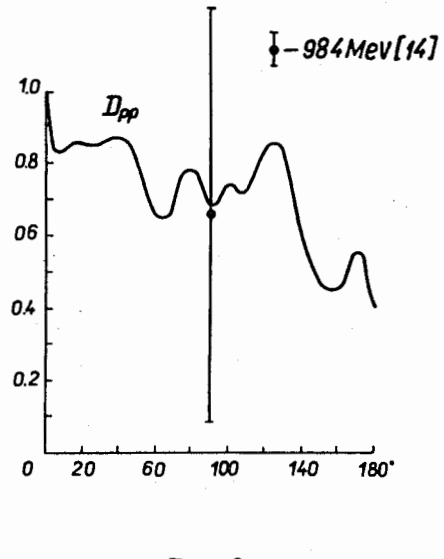


Рис. 3.

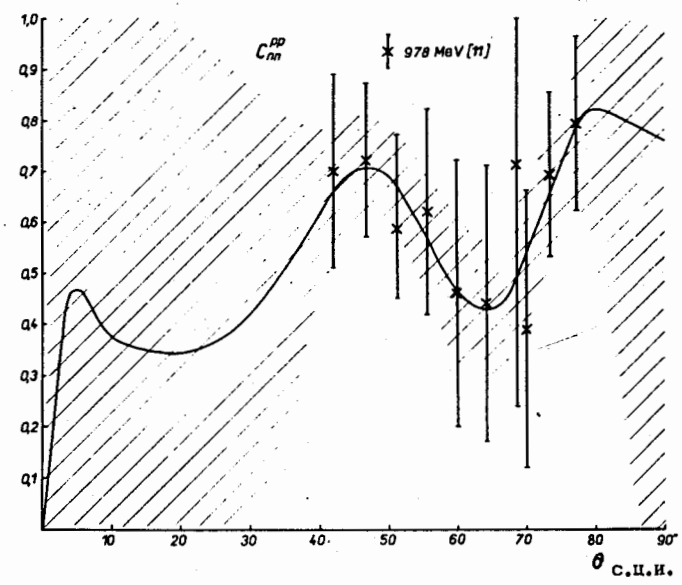


Рис. 4.

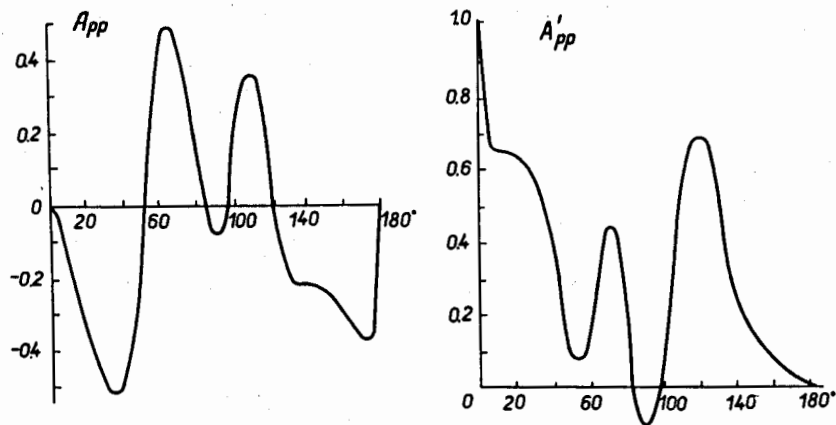


Рис. 5.

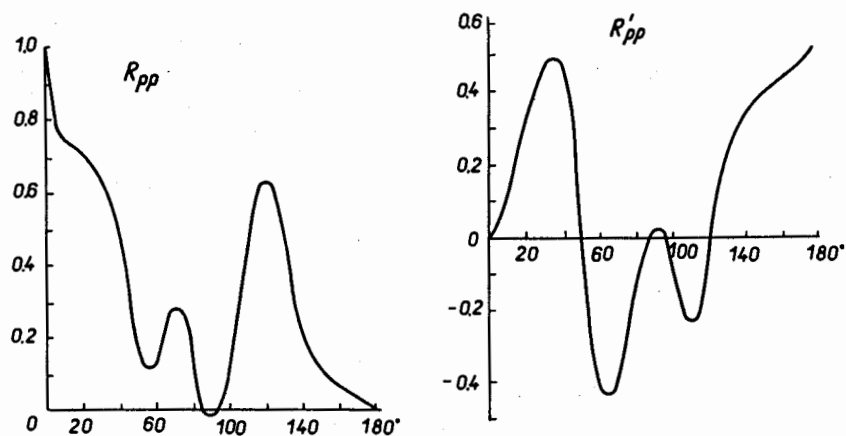


Рис. 6.